

جداسازی آنومالی‌های ژئوشیمیایی از زمینه با استفاده از روش فرکتالی عیار-تعداد در محدوده وشنوه (جنوب قم)

زهریا محمدی اصل^۱، عبدالله سعیدی^{(۲)*}، مهران آرین^۳، علی سلگی^۴، طاهر فرهادی نژاد^۵

۱. دانشجوی دکتری، گروه علوم زمین، دانشگاه آزاد اسلامی، واحد علوم و تحقیقات، تهران

۲. دکتری، استاد، پژوهشکده علوم زمین، تهران

۳. دکتری، استاد، گروه علوم زمین، دانشکده علوم پایه، دانشگاه آزاد اسلامی، واحد علوم و تحقیقات، تهران

۴. دکتری، استادیار، گروه علوم زمین، دانشکده علوم پایه، دانشگاه آزاد اسلامی، واحد علوم و تحقیقات، تهران

۵. دکتری، استادیار، بخش تحقیقات حفاظت خاک و آبخیزداری، مرکز تحقیقات و آموزش کشاورزی و منابع طبیعی لرستان، سازمان تحقیقات آموزش و ترویج کشاورزی، خرمآباد

تاریخ دریافت: ۹۸/۰۱/۱۷

تاریخ پذیرش: ۹۸/۰۴/۳۰

چکیده

در این پژوهش به منظور مطالعات اکتشافات ناحیه‌ای از روش فرکتالی عیار-تعداد استفاده شده است و آنومالی‌های عناصر مس، سرب و روی بررسی شد. به این منظور ۸۰۰ نمونه از رسوبات آبراهه‌ای، برگه‌های زمین‌شناسی ۱:۱۰۰۰۰ کهک و آران مورد استفاده قرار گرفت و نقشه آنومالی‌های این عناصر رسم شد. نتایج حاصل نشان می‌دهد، که مناطق دارای آنومالی‌های شدید مس در بخش‌های شمالی، مرکزی، جنوبی و باخترا منطقه گسترش دارند، شدیدترین آنومالی‌های سرب در بخش باخترا منطقه جای گرفته است. آنومالی‌های شدید بدست آمده عنصر روی در بخش‌های مرکزی، جنوب و باخترا منطقه جای گرفته‌اند. این آنومالی‌ها بر واحدهای سنتگ‌شناسی گذاره‌های آندزیتی-بازالتی، برش‌های ولکانیکی، توف‌ها، داسیت‌ها و توده‌های کوچک مقیاس کوارتزهای دیوریتی و کوارتزهای مونزونیتی منطبق هستند. نقشه بدست آمده از ترکیب نقشه آنومالی‌ها و گسلهای منطقه نشان می‌دهد که آنومالی‌های در پهنه گسلهای و نقاط برخورد گسلهای غلظت بیشتری هستند و گسلهای ناقش اساسی در کانی‌زایی دارند.

واژه‌های کلیدی: روش فرکتالی، ژئوشیمیایی، عیار-تعداد، کانی‌زایی، گسل‌ها.

مقدمه

مهم‌ترین هدف در مطالعات ژئوشیمیایی تشخیص آنومالی از زمینه می‌باشد و روش اکتشافات ژئوشیمیایی آبراهه‌ای متداول‌ترین شیوه اکتشافات ژئوشیمیایی در مراحل مقدماتی است. روش‌های متفاوتی برای پردازش داده‌های ژئوشیمیایی شامل روش‌هایی از قبیل میانگین+دو برابر انحراف معیار (Nazarpour et al., 2015)، ترسیم هیستوگرام، نمودار

* نویسنده مرتبط: abdollahsaidi@yahoo.fr

نسبت تحت تاثیر جایگاه تکتونیکی و ساختارهای منطقه شکل شده‌اند (فاضلی، ۱۳۸۱؛ مجلل و رهامی، ۱۳۸۸؛ Richards, 2003).

در این مطالعه برای جداسازی آنومالی‌ها و مناطق امیدبخش و همچنین بررسی ارتباط بین حدود آستانه برای مس، سرب و روی از روش فرکتالی عیار-تعداد استفاده شد. و ارتباط کانی‌زایی با گسل‌های منطقه مورد بررسی قرار گرفته است. گستره مورد پژوهش گستره کوچکی از بخش میانی کمان ماقمایی ارومیه-دخت است. کمربند کوهزایی زاگرس در نتیجه فروزانش پوسته اقیانوسی نشوتیس به زیر ایران و در ادامه آن برخورد قاره‌ای در درازای کوهزایی الپین در سنوزویک بوجود آمده است. این کمربند کوهزایی شامل سه بخش تکتونیکی موازی با روند NW-SE است که از شمال باختری تا جنوب خاوری گسترش یافته‌اند، این بخش‌ها شامل: کمان ماقمایی ارومیه-دخت (UDMA)، پهنه دگرگونی سندنج-سیرجان (SSMZ) و کمربند چین خورده و روانده زاگرس (ZFTB) (Berberian, 1976; Alavi, 1994; Arvin et al., 2007; Davoudian et al., 2007; Jahangiri, 2007) می‌باشند.

کمان ماقمایی ارومیه دخت با پهنای ۵۰ کیلومتر و درازای ۱۷۰۰ کیلومتر، موازی با کمربند کوهزایی زاگرس Berberian and Berberian, 1981). انواع مختلف سنگ‌های آتشفسانی و آتشفسانی با ژرفای کم دارای ویژگی‌های کالک-آلکالن در سراسر UDMA، از آتشفسان سهند در شمال باختری تا آتشفسان بزمان در جنوب خاوری ایران گزارش شده است. فعالیت ماقمایی در این کمان در ائوسن آغاز شده است و تا کواترنری ادامه یافته است. فعالیت‌های ماقمایی گرانیتوئید کالک-آلکالن در آن بیشتر در ائوسن-میوسن رخ داده است (Berberian and King, 1981; Hassanzadeh, 1993; Alavi, M., 1994) و بیشتر ذخایر نوع پورفیری $Cu \pm Mo$ در ایران با این سنگ‌ها همراه هستند (Hezarkhani and Williams-Jones, 1998; Zaravandi et al., 2005; Hezarkhani, 2006; Ayati et al., 2008; Sepahi and Malvandi, 2008).

جبهه‌ای، آنالیز تک‌متغیره و چندمتغیره می‌باشد (Cheng and Agterberg, 1996) (and). گروه دوم شامل روش‌هایی هستند که موقعیت فضایی نمونه‌ها و فرم هندسی ناهنجاری‌ها را در نظر گرفته‌اند، که شامل روش‌های زمین آمار و فرکتالی می‌باشد (Carranza, 2008; Afzal et al., 2011).

باتوجهه به اینکه روش‌های آماری کلاسیک بر مبنای برخی کمیت‌ها مانند میانگین و انحراف معیار هستند، قادر به تشخیص آنومالی‌هایی با مقادیر بالای زمینه و آنومالی‌های ضعیف در مناطقی با ذخایر معدنی شناخته شده نیستند (Bai et al., 2010). روش‌های فرکتالی به دلایلی از جمله در نظر گرفتن توزیع فضایی داده‌ها، شکل هندسی آنومالی‌ها و استفاده از تمام داده‌ها بدون نادیده گرفتن تعدادی از آنها دارای کاربرد فراوانی در مطالعات سطحی زمین‌شناسی و ژئوژیمیابی می‌باشند (Cheng et al., 1994; Davis, 2002; Li et al., 2003).

برتری روش فرکتالی این است که از داده‌های واقعی برای جداسازی جوامع استفاده می‌شود، بدون آنکه پردازش‌های آماری مانند نرمال کردن داده‌ها که موجب عوض شدن ماهیت می‌شوند استفاده شود در نتیجه مدلسازی با این روش به واقعیت نزدیکتر است (Cheng et al., 1994).

به طور کلی داده‌های ژئوژیمیابی رفتار مولتی فرکتالی دارند که بیانگر تغییرات زمین‌شناسی، ژئوژیمیابی، آلتراسیون، کانی‌سازی و به دنبال آن مراحل غنی شدگی یک عنصر است (Lima et al., 2003).

بسیاری از پژوهشگران، ساختارهای زمین‌شناسی از جمله گسل‌ها را مهمترین عامل موثر بر شکل‌گیری ذخیره مواد معدنی می‌دانند. مهمترین عوامل کنترل کننده ممکن است: پهنه‌های برشی اصلی و یا ساختارهای با شکستگی فراوان که به طور ذاتی وابسته به حرکات پهنه برشی اصلی است، مناطق تقاطع گسل‌ها با جهت مشابه یا متفاوت، پهنه‌های با تنفس زیاد، ساختارهای چین خورده و مناطق فروزانش باشد (Tripp and Vearncombe, 2004; Mirzaie et al., 2015). در این مورد می‌توان به شکل گیری ذخایر مس پورفیری اشاره کرد که نه تنها تحت تاثیر فرآیندهای ماقماتیک و هیدرورتمال بلکه به همان

دوباره فعال شده‌اند. اگرچه بیشتر سنگ‌های نفوذی ارومیه-دختر کالک آلکالن هستند، تعدادی از سنگ‌های ولکانیکی ترکیب آلکالن تا شوشوونیتی در آن قابل دیدن می‌باشد (Arvin et al., 2007; Omrani et al., 2008).

این منطقه شامل سنگ‌های ولکانیکی آندزیت، تراکی آندزیت و توف‌های آندزیتی-داسیتی ائوسن و سنگ‌های رسوبی نئوزن است (محمدی اصل، ۱۳۹۶) که نشان‌دهنده منطقه برخورد و پس از برخورد می‌باشد. فرآیندهای فلزیابی مربوط به اولیگوسن-میوسن در قسمت‌های مرکزی، شمال و باختر محدوده اتفاق افتاده است و در سنگ‌های آتشفشنی ائوسن و رسوبات کرتاسه جای گرفته‌اند (محمدی اصل، ۱۳۹۶).

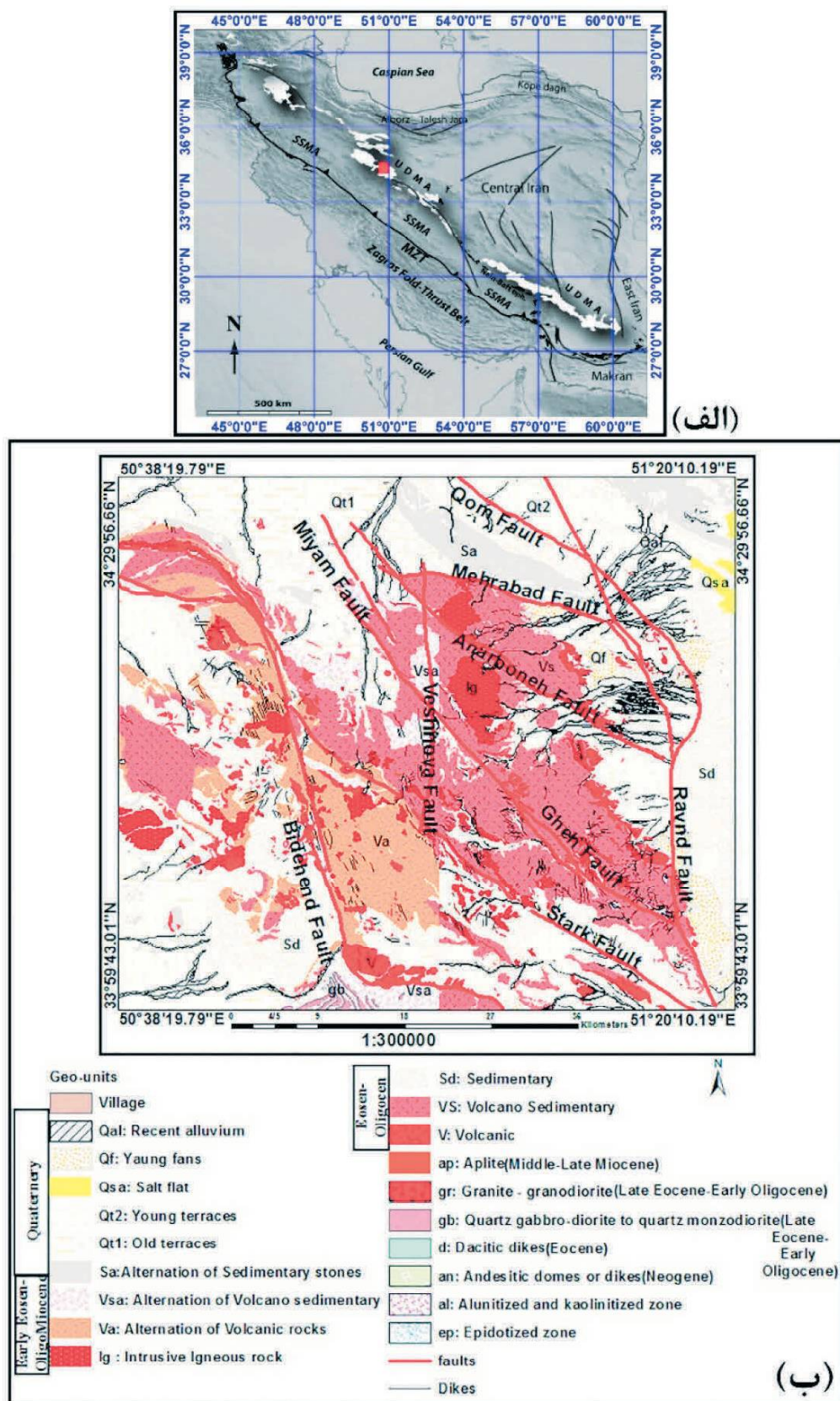
سنگ‌های آتشفشنی ائوسن پسین منطقه مورد مطالعه، به وسیله سیستم گسله امتداد لغز راستگردی شامل گسل‌های قم در شمال، راوند در خاور، بیدهند در باختر و گسل استرک در جنوب محدود شده‌اند و سنگ‌های آتشفشنی با سنگ‌های رسوبی جوانتر احاطه شده است. الگوی لوزی شکل بروند سنگ‌های آتشفشنی ائوسن پسین در این منطقه (دبیری، ۱۳۸۵؛ سجودی کیسمی، ۱۳۷۲؛ شهریاری، ۱۳۸۶) و محدود شدن آن بین گسل‌های مذبور (شکل ۲-الف) نشان می‌دهد که در زمان ائوسن در اثر حرکت امتداد لغز راستگرد پاره گسل بی‌سنگی قم و کاشان در محل خمین یا پوشش این دو گسل، حوضه کششی ایجاد شده است. کشش و باز شدگی در محل پله شدگی گسل‌های قم و کاشان فرصتی برای بیرون آمدن مواد آتشفشنی از اعماق فراهم کرده است (شکل ۲-ب). با وجود اینکه فعالیت ماجمایی کالک-آلکالن در UDMA در ائوسن آغاز شد و تا میوسن ادامه یافته است، ولی فعالیت‌های آتشفشنی جوانتر بیشتر به وسیله سنگ‌های آلکالن مشخص می‌شود (Jamali et al., 2010). ترکیب سنگ‌های ماجمایی اولیگوسن-میوسن از نفوذی‌های دیوریت تا گرانیت، جریان‌های گدازه‌ای متوسط تا فلسيکي و سنگ‌های پیروکلاستيکي تغيير می‌كنند (امايمى، ۱۳۷۵؛ اامايمى، ۱۳۷۹).

Berberian and King (1981) فعالیت آتشفشنی در این پهنه را نتيجه فرورانش پوسته اقيانوسی زاگرس در امتداد برخورد به زير پوسته قاره‌اي ايران مرکزی و ذوب آنها در زرفای زمين می‌دانند، در اثر اين فرآيند مواد مذاب درونی تحت فشار از طريق شکاف‌های متعدد به سطح زمين راه یافته و در حاشيه پوسته قاره‌اي ايران مرکزی کوههای مرتفعی را تشکيل داده‌اند. گسل‌ها نقش مهمی در جايگيري نفوذی‌ها و همچنین کنترل کانی‌زايی مس پورفيري در UDMA داشته‌اند (Shahabpur, 1999; Shahabpur, 1996).
تحليل‌های خطی تصاویر ماهواره‌ای نشان داده است که ذخایر مس پورفيري در بخش جنوب خاوری UDMA بيشتر در محل برخورد گسل‌هایی با روند NW-SE و SSE-NNW با ساختارهای ژرف قدیمی رخ می‌دهد. اين ارتباط ساختاري ممکن است برای شناسایي ذخایر کشف نشده ذخایر نوع پورفيري $Cu \pm Mo$ ، مناطق دیگر UDMA، قابل استفاده باشد (Förster, 1978).

جايگاه زمين‌شناسي

منطقه مورد مطالعه در ۶۰ کيلومتری جنوب قم، خاور كهک و در مزرسه استان اصفهان، قم و مرکزی قرار دارد (شکل ۱). اين منطقه گستره‌اي با وسعت ۳۵۳۰ کيلومتر مربع در مرکز نقشه‌های ۱:۱۰۰۰۰۰ زمين‌شناسي كهک و آران در عرض شمالی $۳۳^{\circ} ۵۹' ۴۳''$ تا $۳۴^{\circ} ۲۹' ۵۶''$ و درازای خاوری $۱۹^{\circ} ۷۷' ۹''$ تا $۲۰^{\circ} ۱۰' ۱۹''$ را در بر می‌گيرد.

بيشترین واحدهای سنگی آن واحدهای آتشفشنی، آتشفشنی-رسوبی به سén ائوسن-میوسن و مجموعه سنگ‌های نفوذی هستند (امايمى و اامياني، ۱۳۷۵؛ قلمقاش و همکاران، ۱۳۷۵). گستره مورد مطالعه براساس طبقه‌بندی Bazin and Hubner (1969) بدلیل پیدايش ذخایر فلزی مانند مس، سرب، روی و منگنز در آن و همچنین ارتباط پهنه با سیستم گسل‌ها يك منطقه متالوژني مهم بشمار می‌رود (Dargahi et al., 2010). فرآيندهای ماجمایی در طول ائوسن دارای بيشترین شدت بوده و سپس در طول زمان میوسن بالايی تا پليوكواترنري



شکل ۱. (الف) موقعیت جغرافیایی منطقه مورد مطالعه، (ب) نقشه زمین‌شناسی ناحیه مورد مطالعه برگرفته از نقشه‌های رقومی برگه‌های زمین‌شناسی آران (امامی و امینی، ۱۳۷۵) و کهک (قلمقاش و همکاران، ۱۳۷۵)

مواد معدنی در این منطقه دارد. از این رو با روش‌های سنتی نمی‌توان مناطق دارای آنومالی را با دقت بالا مشخص کرد و عدم تشخیص درست زمینه هر عنصر در منطقه، میزان آنومالی‌های حاصل دچار نوسان شده و سبب اشتباه اساسی در برآورد محدوده‌های امید بخش برای عملیات اکتشافی می‌شود (Barabási and Stanley., 1995).

بنابراین در این مقاله برای جدا سازی آنومالی‌های مس، سرب و روی از روش فرکتالی عیار-تعداد استفاده شده است و سپس ارتباط بین ساختارهای گسلی و کانی سازی در نرم افزار ArcGis10.3 مورد بررسی قرار گرفته است.

روش عیار- تعداد

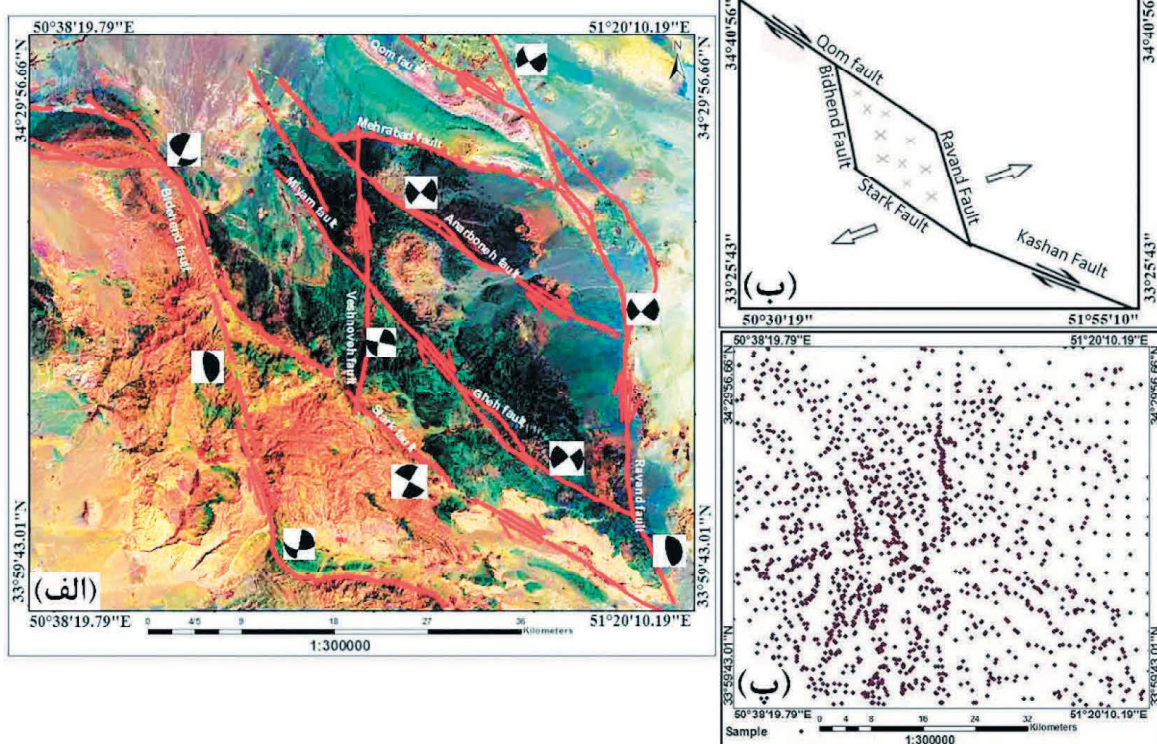
Agterberg et al. (1996) و Mandelbrot (1983) این روش را به منظور تعیین مقادیر آستانه‌ای و زمینه ژئوشیمیابی ارائه کرده‌اند. این مدل دارای فرم عمومی زیر است:

$$N(\geq \rho) \propto \rho - \beta$$

مواد و روش‌ها

با توجه به قرارگیری برگه‌های ۱:۱۰۰۰۰۰ زمین‌شناسی آران و کهک بر روی نوار کمان ماقمایی ارومیه-دختر و وجود پتانسیل ذخایر پورفیری مس، سرب و روی در این پنهانه جهت اکتشاف از داده‌های مربوط به ۸۰۰ نمونه رسوبات آبراهه‌ای برداشت شده (شکل ۲-پ) به میله سازمان زمین‌شناسی و اکتشافات معدنی کشور که به روش ICP-Ms برای ۳۰ عنصر آنالیز شده‌اند، استفاده و سه عنصر مس، سرب و روی بررسی شدند.

مهمنترین بحث در تحلیل داده‌های ژئوشیمیابی تعیین حدود آستانه هر عنصر در منطقه و جدایش آنومالی ژئوشیمیابی از زمینه می‌باشد. با توجه به اهمیت و پتانسیل منطقه، وجود گذارهای آندزیت-بازالت، برش‌های آتشفسانی، توده‌های کوچک مقیاس کوارتزهای دیورتی، کوارتزهای مونزونیتی و تراس‌های قدیمی، بحث جدایش آنومالی‌های اصلی و شدیداً اهمیت‌زیادی در یافتن پتانسیل‌های



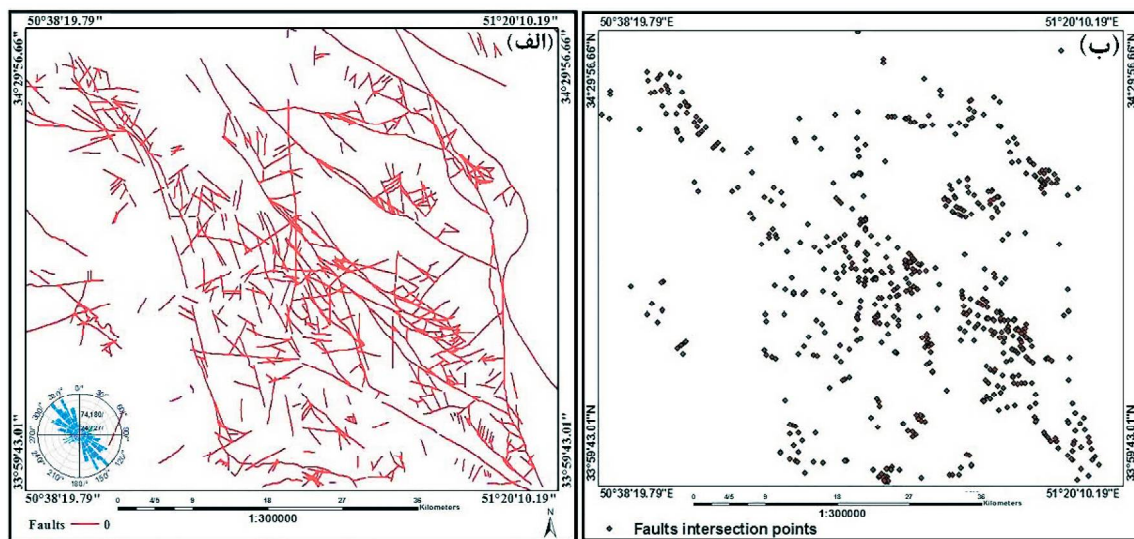
شکل ۲. (الف) حرکت راستالغز راستگرد گسل بی‌سنگی قم-زفره باعث ایجاد کشش و حوضه در محل همپوشانی دو گسل قم و کاشان شده و فضایی برای بیرون آمدن مواد آتشفسانی از اعمق فراهم گردیده است. موقعیت گسل‌ها، (ب) مدل فعالیت گسل‌ها و بالا آمدن مواد آتشفسانی، (پ) نقشه نمونه‌های مورد استفاده

سیستم گسله

گسلهای منطقه با استفاده از نقشه‌های رقومی ۱:۱۰۰۰۰۰ زمین‌شناسی آران (امامی و همکاران، ۱۳۷۵) و کهک قلمقاش و همکاران، ۱۳۷۵)، پردازش تصاویر سنجنده Aster از ماهواره Terra، مدل رقومی ارتفاع زمین (Dem) ۱۰ متری منطقه در نرم افزار ENVI 5.1 و برداشت‌های صحرابی در محیط نرم افزار Arc Gis 10.3 آماده و نقشه گسلهای منطقه و نقاط برخورد آنها تهیه شده است (شکل ۳).

گسل‌های منطقه دارای چهار روند کلی شمال باختری-جنوب خاوری (روندارومیه-دختر)، شمال خاوری-جنوب باختری، خاوری-باختری و شمالی-جنوبی می‌باشند که گسل‌های شمال باختری-جنوب خاوری گسل‌های اصلی منطقه بشمار می‌آیند. این گسلهای که به دلیل واقع شدن در سیستم گسله راندگی جنوب قم، به سیله دوبلکس گسلی احاطه شده‌اند، در مرزهای شمالی و جنوبی به سیله گسل‌های امتداد لغز راستگرد قم با امتداد شمال باختری-جنوب خاوری و استرک (به نظر صفائی (۱۳۸۷) ادامه گسل کاشان می‌باشد) محدود شده است. مرزهای باختری و خاوری آن نیز به گسل‌های راستگرد نزدیکی، راست پله بیدهند و راوند محدود شده است، که رژیم حاکم بر آنها امتداد لغز از نوع ترافشاری راستگرد می‌باشد. گسل‌های شمالی-جنوبی تحت تاثیر گسل‌های شمال خاوری-جنوب

در این رابطه ($p \geq N$) تعداد نمونه‌های با مقدار عیار بیشتر و مساوی مقدار p را نشان می‌دهد، p نشان دهنده عیار عنصر و β نشان دهنده بعد فرکتالی عنصر است. اساس این روش بر رابطه عکس بین عیار و فراوانی تجمعی هر عیار و عیارهای بالاتر از آن است؛ به عبارتی هر چه عیار عنصری بیشتر باشد تعداد نمونه‌های دربرگیرنده آن کمتر می‌شود. برتری مهمند این روش انجام محاسبات، پیش از تخمین و با داده‌های Mandelbrot، (1983; Mao et al., 2004; Deng et al., 2010) روش تحلیلی فرکتالی می‌تواند رابطه بین نتایج بدست آمده اطلاعات زمین‌شناسی، زئوژیمیابی و کانی شناسی را نشان Cheng and Agterberg, 1996; Goncalves et al., 2001; Li et al., 2003; Carranza et al., 2009 دهد و نمودارهای لگاریتمی بدست آمده از روش فرکتالی عیار-تعادل، بیانگر تغییرات و تفاوت‌های زمین‌شناسی می‌باشد. شکستهای بین قطعه‌های خط مستقیم روی نمودار و مقادیر متناظر عیار عنصری p ، به عنوان مرز آستانه‌ای برای جدا کردن مقادیر زئوژیمیابی در مؤلفه‌های مختلف استفاده می‌شود، که نشان دهنده عوامل موثر مختلفی مانند تفاوت‌های سنگ‌شناسی و فرآیندهای زئوژیمیابی است Lima et al., 2003; Qingfei et al., 2008; Afzal et al., 2010).



شکل ۳. (الف) نقشه گسل‌ها و نقاط تقاطع گسل‌ها و رزدیگرام آنها، (ب) نقشه نقاط تقاطع گسل‌ها

بعد از مرتب سازی داده های عیار عنصر به صورت نزولی و تعیین فراوانی تجمعی هر عیار، نمودار لگاریتمی عیار در مقابل فراوانی تجمعی هر عنصر رسم شد و با برآش خطوط مستقیم و بدست آوردن نقاط شکست نمودارهای رسم شده حد آستانه هر عنصر تعیین شد (جدول ۱).

بر این اساس نمودار عیار-تعداد برای عنصر مس ۴ نقطه شکست و ۵ جامعه ژئوشیمیابی، برای عنصر سرب ۳ نقطه شکست و ۴ جامعه ژئوشیمیابی را نشان داد، و همچنین ۳ نقطه شکست و ۴ جامعه ژئوشیمیابی برای عنصر روی نشان داده است (شکل ۴).

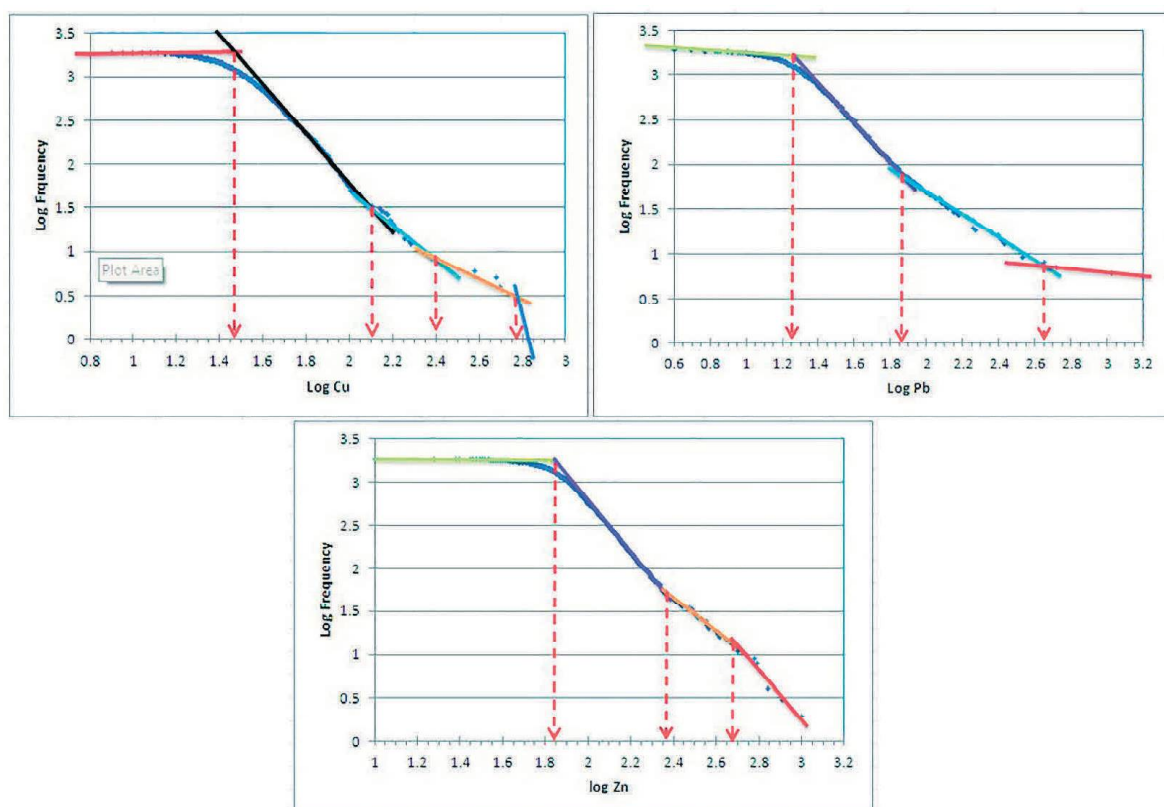
با ختری به صورت چپگرد می لغزند و گسل های خاوری- با ختری تحت تاثیر گسل های شمال با ختری-جنوب خاوری به صورت راستگرد می لغزند (شکل ۲-الف).

بحث و نتیجه گیری

بر اساس مدل فرکتالی عیار-تعداد، نمودارهای تمام لگاریتمی چندین جمعیت ژئوشیمیابی برای عناصر Cu، Pb، Zn را نشان می دهند. هر کدام از جمعیت های ژئوشیمیابی، دارای توزیع متفاوت و منحصر به فردی هستند که نتیجه رفتار متفاوت عناصر در محیط های ژئوشیمیابی می باشد.

جدول ۱. حد آستانه های عناصر مس، سرب و روی بر اساس روش فرکتالی عیار-تعداد بر حسب ppm

حد آستانه	عیار-تعداد
۲۸/۸۴۰۳۲	مس
۱۷/۷۸۰۰۰	سرب
۷/۰/۷۹۰۰۰	روی

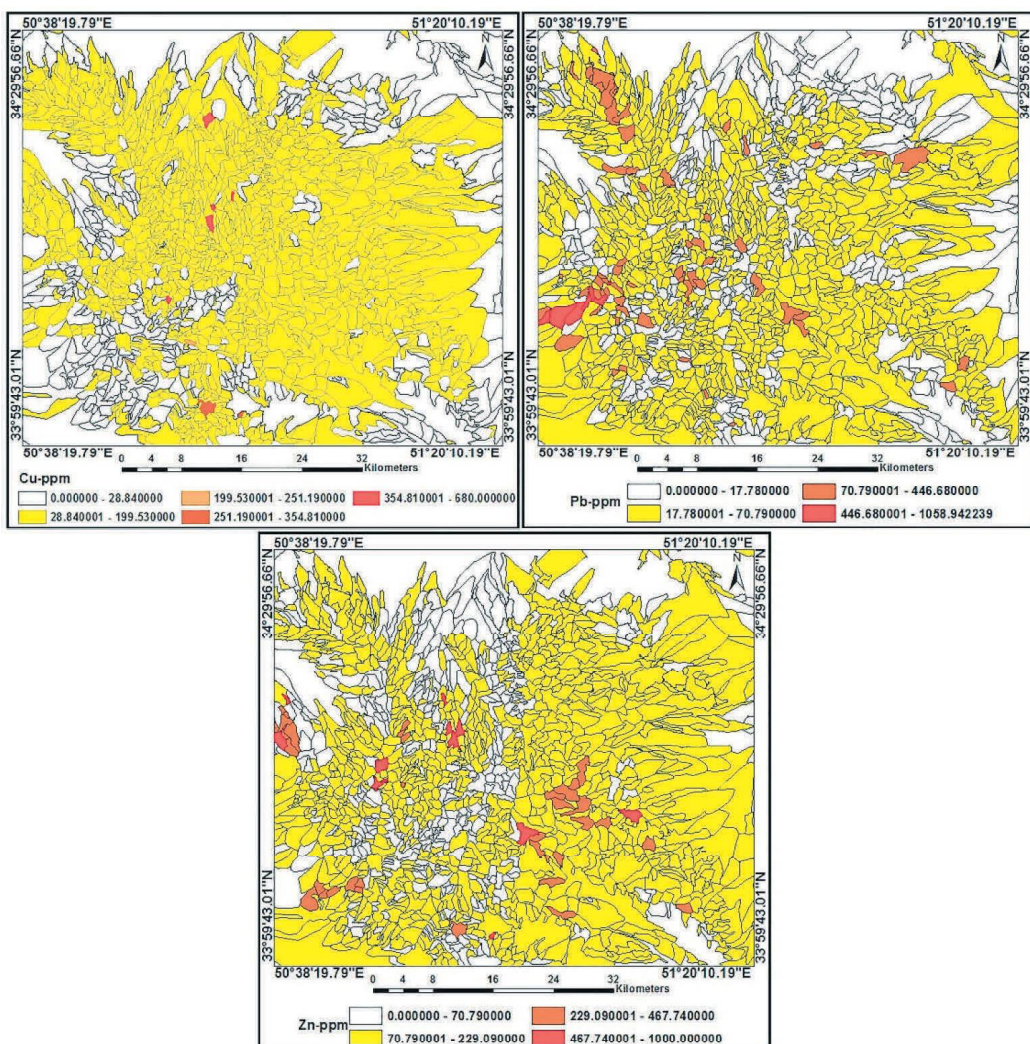


شکل ۴. نمودار فرکتالی لگاریتم عیار Cu، Pb و Zn در مقابل تعداد (فراوانی)

آنومالی شدید مس در بخش‌های شمالی (بزرگترین آنومالی)، مرکزی و جنوبی منطقه قرار گرفته است، که بر سنجش‌ننای گدازه‌های آندزیتی-بازالتی، برش‌های آتشفسانی، توده‌های کوچک مقیاس کوارتزهای دیوریتی و کوارتزهای مونزونیتی و تراس‌های قدیمی منطبق هستند. آنومالی‌های با عیار شدید سرب در باختر منطقه جای گرفته است و بر واحدهای سنگ‌شناسی داسیتی و آندزیتی منطبق می‌باشند.

آنومالی‌های با عیار شدید عنصر روی در بخش‌های نزدیک به مرکز، جنوب و باختر منطقه جای گرفته‌اند و بر واحدهای سنگ‌شناسی گدازه‌های آندزیتی-بازالتی، برش‌های ولکانیکی، توفها و توده‌های کوچک مقیاس کوارتزهای دیوریتی، کوارتزهای مونزونیتی منطبق هستند (شکل ۵).

جامعه رئووشیمیایی اول Cu دارای شبیه نزدیک به افق است و مقدار زمینه مس را در منطقه نشان می‌دهد، مقدار آن کمتر از $28/84 \text{ ppm}$ است. جامعه رئووشیمیایی با بیشترین اهمیت و دارای آنومالی شدید دارای عیار مس بیشتر از $354/81 \text{ ppm}$ است. کمترین حد آستانه بدست آمده در نمودار عنصر سرب $17/78 \text{ ppm}$ است که دارای شبیه نزدیک به افق است و نشان می‌دهد، که آنومالی زمینه دارای عیاری کمتر از این مقدار بوده و شدیدترین آنومالی آن دارای عیار بیشتر از $1058/9422 \text{ ppm}$ با شبیه تند می‌باشد. در نهایت مقدار حد آستانه زمینه و بالاترین حد آستانه بدست آمده برای عنصر روی به ترتیب تعیین شده به روش فرکتالی عیار- تعداد با عیار بالا و

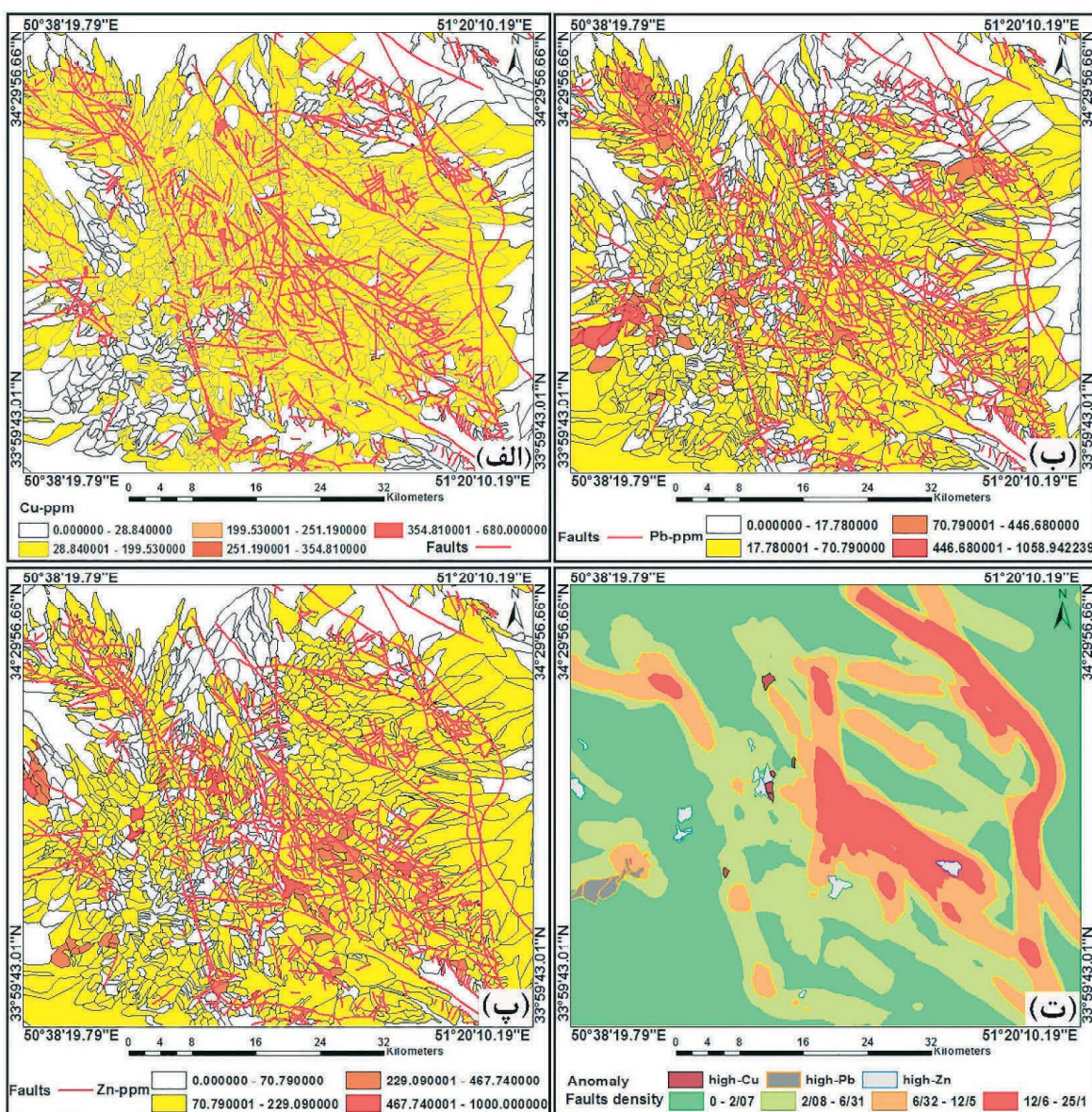


شکل ۵. نقشه آنومالی‌های به دست آمده عناصر Zn، Pb، Cu و با استفاده از روش فرکتالی عیار-تعداد

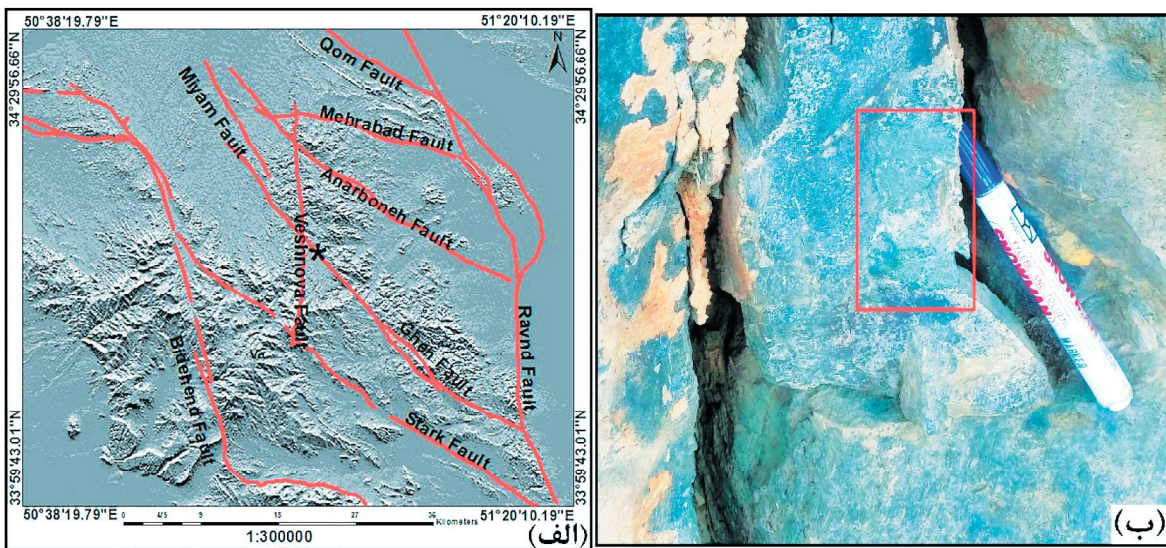
معکوس است که موازی با روند کمان ماقمایی ارومیه-دختر پیدید آمده است)، کانی‌زایی ملاکیت در سطح قابل دیدن است (شکل ۷)، که می‌تواند نشانه فعالیت‌های هیدروترمال در راستای این گسل باشد. در بخش‌های دیگری از این گسل وجود زئودهای فراوان حاوی کانسارهای مواد معدنی (بیشتر مس به صورت ملاکیت) در سطح گسل و همچنین وجود ماده معدنی همراه با زئودهای سیلیس که به صورت جایگزینی همراه با درزه و شکافها در سطح گسل می‌باشد، شاهدی بر وجود سیستم هیدروترمالی در محدوده می‌باشد و ارتباط گسل‌ها با کانی‌زایی را تائید می‌کند.

همپوشانی نقشه گسل‌ها و نقاط برخورد آنها با آنومالی‌ها نشان می‌دهد که آنومالی‌های شدید مس در بخش‌های شمالی و مرکزی منطبق بر گسل‌ها و نقاط برخورد آنها می‌باشند. آنومالی‌های سرب منطبق بر گسل‌ها و نقاط برخورد آنها می‌باشند. آنومالی‌های با عیار بالای روی در بخش‌های نزدیک به مرکز، خاور و جنوب منطقه منطبق بر گسل‌ها هستند (شکل ۶).

در تکه میانی امتداد گسل میم، از گسل‌های اصلی محدوده (دارای روند N135 و شیب به سوی جنوب باخته، داری ساز و کار راستا غز راستگرد همراه با مولفه شیب لغز



شکل ۶. الف، ب و پ) نقشه‌های انطباق گسل‌ها با آنومالی‌های مس، سرب و روی منطقه، ت) نقشه تراکم گسل‌ها با آنومالی‌های منطقه



شکل ۷. (الف) نقشه گسل‌های اصلی منطقه مورد مطالعه، (ب) نمونه‌ای از کانی‌زایی مس در سطح گسل میم که جایگاه آن با علامت ستاره سیاه در شکل (الف) نشان داده شده است (کادر قرمز کانی‌زایی مس را نشان می‌دهد)

نتیجه‌گیری

می‌باشد. آنومالی‌های متوسط و شدید منطقه انتباطق نسبی با گسل‌هایی با امتداد شمال باختری-جنوب خاور و نقاط برخورد آنها دارند.

انتباطق خوبی بین آنومالی‌های مس و روی مشخص شده برخساره‌های گدازه‌های آندزیتی-بازالتی ائوسن، برش‌های ولکانیکی و توده‌های کوچک مقیاس کوارتزهای دیوریتی، کوارتزهای مونزونیتی پس از برخورد قاره‌ای وجود دارد و آنومالی‌های سرب بر سنگ‌های داسیتی-آندزیتی منطبق هستند.

با توجه به اینکه منطقه در واحدهای سخت با شکستگی‌های فراوان جای گرفته است و در یک سیستم گسله برشی قرار دارد، گسلها و شکستگی‌های اصلی در محدوده معدنی وشنوه با ایجاد فضای مناسب، معبری را برای حرکت سیالات کانه‌ساز فراهم ساخته و افزون بر آن سبب تراکم موضعی کانی‌سازی شده‌اند. و از سوی دیگر با توجه به وجود نمونه‌هایی از اکسید مس بر روی سطح گسل و انتباطق خوب محدوده‌های عیار بالا با گسل‌های اصلی و محل تقاطع گسل‌ها بنظر می‌رسد که گسل‌های با امتداد شمال باختری-جنوب خاوری و محل تقاطع گسل‌ها با یکدیگر به طور ثانویه در کانی‌زایی تاثیر داشته باشند.

استفاده از روش تحلیلی فرکتالی عیار-تعداد در برگه‌های زمین‌شناسی ۱:۱۰۰۰۰۰ کهک و آزان برای جداسازی آنومالی‌های عناصر مس، سرب و روی نشان دهنده توانایی بالای روش‌های فرکتالی و به ویژه مدل‌سازی‌های مولتی فرکتالی در جدایش جوامع زئوژیمیابی و تعیین مراحل غنی شدگی این عناصر می‌باشد. از تلفیق نتایج حاصل از مدل فرکتالی با شواهد زمین‌شناسی دید بسیار بهتری از مراحل کانی‌زایی و نیز پراکندگی ثانویه عناصر بدست می‌آید.

نتایج نشان می‌دهد مهمترین آنومالی‌های مس با مقدار بیشتر از $354/81 \text{ ppm}$ در بخش‌های شمالی، مرکزی و جنوبی منطقه گسترش دارند. شدیدترین آنومالی‌های سرب با عیار بیشتر از $1058/94 \text{ ppm}$ در بخش باختر منطقه جای گرفته است و در نهایت شدیدترین آنومالی بدست آمده برای عنصر روی بیشتر از 1000 ppm می‌باشند که در بخش‌های نزدیک به مرکز، جنوب و باختر منطقه جای گرفته‌اند.

مقایسه و همپوشانی نقشه آنومالی‌ها و گسل‌های منطقه نشان می‌دهد که آنومالی‌ها با گسل‌ها و نقاط برخورد گسل‌ها منطبق می‌باشد، به گونه‌ای که بزرگترین آنومالی مس در ارتباط با گسل میم که یکی از گسل‌های مهم منطقه است و نقطه برخورد آن با گسل شمالی-جنوبی وشنوه

Omran, N. R., Esfandiari, B. and Alghalandis, Y.F., 2010. Geochemical anomaly separation by multifractal modeling in Kahang (Gor Gor) porphyry system, Central Iran. Journal of Geochemical Exploration, 104, 1-2, 34-46.

- Afzal, P., Alghalandis, Y.F., Khakzad, A., Moarefvand, P. and Omran, N.R., 2011. Delineation of mineralization zones in porphyry Cu deposits by fractal concentration-volume modeling. Journal of Geochemical Exploration, 108, 3, 220-232.

- Agterberg, F.P., Cheng, Q., Brown, A. and Good, D., 1996. Multifractal modeling of fractures in the Lac du Bonnet Batholith, Manitoba. Computer Geoscience, 22, 5, 497-507.

- Alavi, M., 1994. Tectonics of the Zagros Orogenic belt of Iran, new data and interpretations: Tectonophysics, 220, 211-238.

- Arvin, M., Pan, Y., Dargahi, S., Malekizadeh, A. and Babaei, A., 2007. Petrochemistry of the Siah-Kuh granitoid stock southwest of Kerman, Iran: Implications for initiation of Neotethys subduction, Journal of Asian Earth Sciences, 30, 3-4, 474-489.

- Ayati, F., Yavuz, F., Noghreyan, M., Haroni, A. and Yavuz, R., 2008. Chemical characteristics and composition of hydrothermal biotite from the Dalli porphyry copper prospect, Arak, central province of Iran: Mineralogy and Petrology, 94, 107-122.

- Bai, J., Zhong, X., Jiang, S., Huang, Y. and Duan, X., 2010. Graphene nanomesh. Nature nanotechnology, 5, 3, 190.

- Barabási, A.L. and Stanley, H.E., 1995. Fractal concepts in surface growth. Cambridge University Press.

- Bazin, D. H., and Hubner, H., 1969. Cop-

تشکر و قدردانی

لازم می‌دانیم از سازمان زمین‌شناسی بخاطر
همکاری‌هایشان تشکر نماییم.

منابع

- امامی، م.ھ. و امینی، ب.، ۱۳۷۵. نقشه زمین‌شناسی چهارگوشه آران. مقیاس ۱:۱۰۰۰۰۰. انتشارات سازمان زمین‌شناسی و اکتشافات معدنی کشور، تهران.
- امامی، م.ھ.، ۱۳۷۹. مآگماتیسم در ایران. انتشارات سازمان زمین‌شناسی و اکتشافات معدنی کشور، ۶۰۸.
- دبیری، ر.، ۱۳۸۵. ژئوشیمی و پترولوزی سنگ‌های آتشفشانی شمال باختر کاشان، پایان‌نامه کارشناسی ارشد زمین‌شناسی، دانشگاه تربیت مدرس، ۱۳۵.
- سجودی کیسمی، ح.، ۱۳۷۲. بررسی زمین‌شناسی و پترولوزی سنگ‌های آذربین جنوب قم (منطقه نراق، بیدهند، سد پانزده خرداد) در پهنه ارومیه دختر، پایان‌نامه کارشناسی ارشد پترولوزی، دانشگاه تربیت معلم تهران، ۱۴۳.
- شهریاری، ش.، ۱۳۸۶. ژئوشیمی و پترولوزی سنگ‌های آتشفشانی شمال خاور نراق، پایان‌نامه کارشناسی ارشد زمین‌شناسی، دانشگاه تربیت مدرس، ۱۰۲.
- صفائی، م.، ۱۳۸۷. مطالعه و تهیی طرح جامع پهنه‌بندی و آسیب‌پذیری ناشی از زلزله شهرستان کاشان، دانشگاه اصفهان، ۲۳۰.
- فاضلی، آ.، ۱۳۸۱. بررسی تیپ کانی‌سازی مس در کانسار وشنوه (جنوب قم). پایان‌نامه کارشناسی ارشد، گروه زمین‌شناسی، دانشگاه تربیت معلم تهران، ۱۵۷.
- قلمقاش، ج.، بحروفی، ع. و فنودی، م.، ۱۳۷۵. نقشه زمین‌شناسی چهارگوشه کشی (pull-apart) در کمریند آتشفشانی ارومیه دختر، فصلنامه زمین‌شناسی انتشارات سازمان زمین‌شناسی و اکتشافات معدنی کشور، تهران.
- محجل، م. و رهامی، ز.، ۱۳۸۸. ساختار گسل راوند و نقش آن در ایجاد حوضه کشی (pull-apart) در کمریند آتشفشانی ارومیه دختر، فصلنامه زمین‌شناسی ایران، سال سوم، ۱۱، ۳۹-۴۵.
- محمدی اصل، ز.، ۱۳۹۶. نقش کنترل کننده‌های ساختاری در کانی‌زایی معدن مس وشنوه و رابطه جایگزینی این کانی‌ها با فرآیندهای ژئودینامیکی، رساله دکتری، دانشگاه آزاد اسلامی علوم و تحقیقات، تهران، ایران، ۱۸۵.
- Afzal, P., Khakzad, A., Moarefvand, P.,

- per deposits in Iran; Ministry of Economy, Geology Survey of Iran, 13, 232.
- Berberian, M., 1976. Seismic Hazard Maps of Iran, Geological Survey of Iran.
 - Berberian, F., Berberian, M., 1981. Tectono-plutonic episodes in Iran. In: Gupta HK, Delany FM (eds) Zagros Hindu Kush Himalaya Geodynamic evolution, American Geophysical Union, Washington DC, 5-32.
 - Berberian, M. and King, G.C.P., 1981. Towards a paleo geography and tectonic evolution of Iran, Geological Survey of Iran, Report. No. 52.
 - Carranza, E.J.M., 2008. Geochemical anomaly and mineral prospectivity mapping in GIS, Elsevier, 11, 368.
 - Carranza, E.J.M., Owusu, E.A and Hale, M., 2009. Mapping of prospectively and estimation of number of undiscovered prospects for lode-gold, southwestern Ashanti Belt, Ghana. Mineralium Deposita, 44,8, 915-938.
 - Cheng, Q., Agterberg, F. P. and Ballantyne, S.B., 1994. The separation of geochemical anomalies from background by fractal methods, Journal of Geochemical Exploration, 51, 109-130.
 - Cheng, Q. and Agterberg, F.P., 1996. Multifractal modeling and spatial statistics. Mathematical Geology, 28,1, 1-16.
 - Dargahi, S., Arvin, M., Pan, Y. and Babaei, A., 2010. Petrogenesis of post-collisional A-type granitoids from the Urumieh-Dokhtar magmatic assemblage, Southwestern Kerman, Iran: Constraints on the Arabian-Eurasian continental collision, Lithos, 115,1-4, 190-204.
 - Davis, J.C., 2002. Statistics and Data Analysis in Geology, Wiley, New York, 638.
 - Davoudian, A.R., Hamedani, A., Shabaniyan, N. and Mackizadeh, M.A., 2007. Petrological and geochemical constraints on the evolution of the Cheshmeh-Sefid granitoid complex of Golpayegan in the Sanandaj-Sirjan zone, Iran: Neues Jahrbuch für Mineralogie, 184, 117-129.
 - Deng, J., Wang, Q., Yang, L., Wang, Y., Gong, Q. and Liu, H., 2010. Delineation and explanation of geochemical anomalies using fractal models in the Heqing area, Yunnan Province, China. Computer Geoscience, 105, 95-105.
 - Förster, H., 1978. Mesozoic-Cenozoic metallogenesis in Iran: Journal of the Geological Society, 135, 443-455.
 - Goncalves, M.A., Mateus, A. and Oliveira, V., 2001. Geochemical anomaly separation by multifractal modeling, Journal of Geochemical Exploration, 72,2, 91-114.
 - Hassanzadeh, J., 1993. Metallogenic and tectono-magmatic events in the SE sector of the Cenozoic active continental margin of central Iran (Shahr e Babak area, Kerman Province) [Unpublished Ph.D. dissertation]: Los Angeles, CA, University of California.
 - Hezarkhani, A. and Williams-Jones, A.E., 1998. Controls of alteration and mineralization in the Sungun porphyry copper deposit, Iran: Evidence from fluid inclusion and stable isotopes: Economic Geology, 93, 651-670.
 - Hezarkhani, A., 2006. Fluid inclusion investigations of the Raigan porphyry copper system, Kerman-Bam, Iran: International Geology Review, 48, 255-270.
 - Jahangiri, A., 2007. Post-collisional Miocene adakitic volcanism in NW Iran: Geochemical and geodynamic implications: Journal of Asian Earth Sciences, 30, 433-447.
 - Jamali, H., Dilek, Y., Daliran, F., Yaghoubpur, A. and Mehrabi, B., 2010. Metallogeny and

- tectonic evolution of the Cenozoic Ahar-Arasbaran volcanic belt, northern Iran: International Geology Review, 52, 4-6, 608-630.
- Li, C., Ma, T. and Shi, J., 2003. Application of a fractal method relating concentrations and distances for separation of geochemical anomalies from background, Journal of Geochemical Exploration, v. 77, 2-3, 167-175.
- Lima, A., De Vivo, B., Cicchella, D., Cortini, M. and Albanese, S., 2003. Multifractal IDW interpolation and fractal filtering method in environmental studies: an application on regional stream sediments of (Italy), Campania region. Applied Geochemistry, 18, 12, 1853-1865.
- Mandelbrot, B.B., 1983. The fractal geometry of nature/revised and enlarged edition. New York, WH Freeman and Co, 495.
- Mao, Z., Peng, S., Lai, J., Shao, Y. and Yang, B., 2004. Fractal study of geochemical prospecting data in south area of Fenguanshan copper deposit, Tongling Anhui. Journal of Earth Science Environment, 26, 4, 11-14.
- Mirzaie, A., Shafiei Bafti, Sh. and Dera-khshani, R., 2015. Fault control on Cu mineralization in the Kerman porphyry copper belt, SE Iran: A fractal analysis, Jurnal for Comprehensive Studies of Ore Genesis and Ore Exploration, 71, 237-247.
- Nazarpour, A., Omran, N.R., Paydar, G.R., Sadeghi, B., Matroud, F. and Nejad, A.M., 2015. Application of classical statistics, logratio transformation and multifractal approaches to delineate geochemical anomalies in the Zarshuran gold district, NW Iran. Chemie der Erde-Geochemistry, 75, 1, 117-132.
- Omrani, J., Agard, P., Whitechurch, H., Benoit, M., Prouteau, G. and Jolivet, L., 2008. Arc-magmatism and subduction history beneath the Zagros Mountains, Iran: A new report of adakites and geodynamic consequences. Lithos, 106, 3-4, 380-398.
- Qingfei, W., Jun, D., Li, W., Jie, Z., Qingjie, G., Liqiang, Y., Lei, Z. and Zhijun, Z., 2008. Multifractal Analysis of Element Distribution in Skarn-type Deposits in the Shizishan Orefield, Tongling Area, Anhui Province, China. Acta Geologica Sinica-English Edition. 82, 4, 896-905.
- Richards, J.P., 2003. Tectono-magmatic precursors for porphyry Cu-(Mo-Au) deposit formation. Economic Geology, 98, 1515-1533.
- Sepahi, A.A. and Malvandi, F., 2008. Petrology of the Bouein Zahra-Naein plutonic complex, Urumieh-Dokhtar belt, Iran: With special reference to granitoids of the Saveh plutonic complex: Neues Jahrbuch für Mineralogie, 185, 99-115.
- Shahabpur, J., 1996. Use of drainage trends as a prospecting tool in the central Iranian porphyry copper belt: Canadian Mining and Metallurgical Bulletin, 89, 70-75.
- Shahabpur, J., 1999. The role of deep structures in the distribution of some major ore deposits in Iran, NE of the Zagros thrust zone: Journal of Geodynamics, 28, 237-250.
- Tripp, G.I. and Vearncombe, J.R., 2004. Fault/fracture density and mineralization: a contouring method for targeting in gold exploration. Journal Structural Geology, 26, 6-7, 1087-1108.
- Zaravandi, S., Liaghat, S. and Zentilli, M., 2005. Geology of the Darreh-Zerreshk and Ali-Abad porphyry copper deposits, central Iran: International Geology Review, 47, 620-646.